

基于类GHZ态和Bell态纠缠交换的半量子隐私比较

徐欣,甘志刚,叶天语

(浙江工商大学信息与电子工程学院,浙江杭州 310018)

摘要: 本文提出一种基于类GHZ态与Bell态纠缠交换的半量子隐私比较(SemiQuantum Private Comparison, SQPC)协议,在不泄露两个半量子通信者隐秘信息的前提下借助半忠诚第三方(Third Party, TP)正确地比较出隐秘信息的相等性. 半忠诚TP被假定可以发起任何攻击,但不能与外人合谋. 本文详细证明了该协议针对外部窃听者的攻击具备完全鲁棒性,并且分析了该协议针对内部不诚实参与者具备安全性. 本文还通过IBM的Qiskit对该协议的流程和输出正确性进行实验仿真.

关键词: 半量子隐私比较;纠缠交换;类GHZ态;Bell态;Qiskit

基金项目: 国家自然科学基金(No.62071430)

中图分类号: TP309

文献标识码: A

文章编号: 0372-2112(2025)03-0836-13

电子学报URL: <http://www.ejournal.org.cn>

DOI: 10.12263/DZXB.20240193

Semiquantum Private Comparison Based on Entanglement Swapping of GHZ-Like State and Bell State

XU Xin, GAN Zhi-gang, YE Tian-yu

(College of Information & Electronic Engineering, Zhejiang Gongshang University, Hangzhou, Zhejiang 310018, China)

Abstract: This paper proposed a protocol of semiquantum private comparison (SQPC) based on entanglement swapping of GHZ-like state and Bell state, which allows the classical participants to compare the equality of their secret message under the help of a semi-honest third party (TP). TP is allowed to misbehave but cannot collude with anyone else. This paper provides a detailed proof of the protocol's complete robustness against external eavesdroppers' attacks, and analyzes its security against dishonest internal participants. This paper also conducted experimental simulations on the flow and output correctness of the protocol using IBM's Qiskit. In addition, the security of the proposed protocol is confirmed and it can effectively prevent various kinds of attacks.

Key words: semiquantum private comparison; entanglement swapping; GHZ-like state; Bell state; Qiskit

Foundation Item(s): National Natural Science Foundation of China (No.62071430)

1 前言

经典安全计算起源于Yao^[1]提出的百万富翁问题. 百万富翁问题是指两富翁希望在自己的财富数量不被外泄的情况下得到谁更富有的结果. 经典安全计算在隐秘招标、隐秘拍卖、隐秘选举等场合有着广泛的应用. 经典隐私比较是经典安全计算的一个重要分支,其安全性取决于解决数学问题的复杂度.

在2009年,Yang等人^[2]将量子力学与经典隐私比较结合在一起从而首次提出量子隐私比较(Quantum Private Comparison, QPC)的概念. 在一个量子隐私比较方案中,两个量子通信者在不泄露自身隐秘信息的前提下可以正

确地比较出隐秘信息的相等性或大小关系. QPC是量子安全计算的一个重要分支,其安全性是基于量子力学规律而非解决数学问题的复杂度.

在一个量子密码协议中,量子通信者往往需要进行量子叠加态或量子纠缠态的制备或测量,从而需要配备昂贵的量子设备. 然而,并非所有通信者都具备这样的条件. 在2009年,为了将部分通信者从量子叠加态或量子纠缠态的制备或测量中解脱出来,Boyer等人^[3,4]首次提出半量子的概念. 在一个半量子密码协议中,半量子通信者只能进行如下操作^[3,4]:(1)制备粒子处于 $\{|0\rangle, |1\rangle\}$ 基(即Z基);(2)利用Z基测量粒子;(3)通过量子信道传送粒子;(4)置乱粒子. 在2016年,Chou等人^[5]将半量子概念引入到QPC

从而提出首个半量子隐私比较 (SemiQuantum private comparison, SQPC) 协议. 此后, 一系列基于不同类型量子态的 SQPC 协议被先后设计出来, 如基于单粒子态^[6-10]、基于 Bell 态^[5, 11-21]、基于 W 态^[22]、基于类 GHZ 态^[23, 24]和基于四粒子团簇态^[19]等.

量子纠缠交换是一种非常重要的量子资源, 被广泛应用于量子安全计算协议的设计中. 就我们所知, 目前只有文献[5, 19, 21]三个 SQPC 协议是基于量子纠缠交换. 具体来讲, 文献[5, 21]的两个 SQPC 协议是基于两个 Bell 态之间的纠缠交换, 文献[19]的 SQPC 协议是基于 Bell 态和四粒子团簇态之间的纠缠交换. 总体上说, 目前基于纠缠交换的 SQPC 协议还比较匮乏, 值得进一步去研究. 而且, 文献[19]的 SQPC 协议需采用在实际中不易制备的四粒子团簇态作为量子资源; 文献[21]的 SQPC 协议需采用环形粒子传输模式, 不易保证半量子方的独立性; 文献[19]的 SQPC 协议的量子比特效率并不理想, 有待进一步提高; 文献[5]和文献[19]的协议并未对协议流程和输出正确性进行量子仿真.

基于以上分析, 本文提出一种基于类 GHZ 态与 Bell 态纠缠交换的 SQPC 协议, 在不泄露两个半量子通信者隐秘信息的前提下正确地比较出隐秘信息的相等性. 该协议针对外部窃听者攻击的完全鲁棒性和针对内部参与者攻击的安全性得到详细验证. 我们通过 IBM 的 Qiskit 对本文协议的流程和输出正确性进行实验仿真. 由于只采用类 GHZ 态和 Bell 态作为量子资源, 本文协议在量子资源的使用上比文献[19]的 SQPC 协议更具优势; 由于只采用树型粒子传输模式, 相比于文献[21]的 SQPC 协议, 本文协议更易保证半量子方的独立性; 本文协议的量子比特效率高于文献[19]的 SQPC 协议.

2 所提出的 SQPC 协议

类 GHZ 基是三粒子量子系统空间的一组标准正交基, 由以下八个量子态构成^[25]:

$$|g_0\rangle = \frac{1}{2}(|000\rangle + |011\rangle + |101\rangle + |110\rangle) \quad (1)$$

$$|g_1\rangle = \frac{1}{2}(|001\rangle + |010\rangle + |100\rangle + |111\rangle) \quad (2)$$

$$|g_2\rangle = \frac{1}{2}(|000\rangle - |011\rangle - |101\rangle + |110\rangle) \quad (3)$$

$$|g_3\rangle = \frac{1}{2}(|001\rangle - |010\rangle - |100\rangle + |111\rangle) \quad (4)$$

$$|g_4\rangle = \frac{1}{2}(|000\rangle - |011\rangle + |101\rangle - |110\rangle) \quad (5)$$

$$|g_5\rangle = \frac{1}{2}(|001\rangle - |010\rangle + |100\rangle - |111\rangle) \quad (6)$$

$$|g_6\rangle = \frac{1}{2}(|000\rangle + |011\rangle - |101\rangle - |110\rangle) \quad (7)$$

$$|g_7\rangle = \frac{1}{2}(|001\rangle + |010\rangle - |100\rangle - |111\rangle) \quad (8)$$

Bell 基是两粒子量子系统空间的一组标准正交基, 由以下四个量子态构成:

$$|\phi^+\rangle = \frac{1}{2}(|00\rangle + |11\rangle) \quad (9)$$

$$|\phi^-\rangle = \frac{1}{2}(|00\rangle - |11\rangle) \quad (10)$$

$$|\phi^+\rangle = \frac{1}{2}(|01\rangle + |10\rangle) \quad (11)$$

$$|\phi^-\rangle = \frac{1}{2}(|01\rangle - |10\rangle) \quad (12)$$

$|g_1\rangle_{123}$ 与 $|\phi^+\rangle_{45}$ 之间的纠缠交换描述如下:

$$\begin{aligned} |g_1\rangle_{123} \otimes |\phi^+\rangle_{45} &= \frac{1}{2}(|001\rangle + |010\rangle + |100\rangle + |111\rangle)_{123} \\ &\quad \otimes \frac{1}{\sqrt{2}}(|00\rangle + |11\rangle)_{45} \end{aligned} \quad (13)$$

$$\begin{aligned} |g_1\rangle_{123} \otimes |\phi^+\rangle_{45} &= \frac{1}{2\sqrt{2}} \begin{pmatrix} |0\rangle_1 |00\rangle_{24} |10\rangle_{35} + |0\rangle_1 |01\rangle_{24} |11\rangle_{35} \\ + |0\rangle_1 |10\rangle_{24} |00\rangle_{35} + |0\rangle_1 |11\rangle_{24} |01\rangle_{35} \\ + |1\rangle_1 |00\rangle_{24} |00\rangle_{35} + |1\rangle_1 |01\rangle_{24} |01\rangle_{35} \\ + |1\rangle_1 |10\rangle_{24} |10\rangle_{35} + |1\rangle_1 |11\rangle_{24} |11\rangle_{35} \end{pmatrix} \end{aligned} \quad (14)$$

$$\begin{aligned} |g_1\rangle_{123} \otimes |\phi^+\rangle_{45} &= \frac{1}{4} |00\rangle_{24} \left[|0\rangle_1 (|\phi^+\rangle_{35} - |\phi^-\rangle_{35}) + |1\rangle_1 (|\phi^+\rangle_{35} + |\phi^-\rangle_{35}) \right] \\ &\quad + \frac{1}{4} |01\rangle_{24} \left[|0\rangle_1 (|\phi^+\rangle_{35} - |\phi^-\rangle_{35}) + |1\rangle_1 (|\phi^+\rangle_{35} + |\phi^-\rangle_{35}) \right] \\ &\quad + \frac{1}{4} |10\rangle_{24} \left[|0\rangle_1 (|\phi^+\rangle_{35} + |\phi^-\rangle_{35}) + |1\rangle_1 (|\phi^+\rangle_{35} - |\phi^-\rangle_{35}) \right] \\ &\quad + \frac{1}{4} |11\rangle_{24} \left[|0\rangle_1 (|\phi^+\rangle_{35} + |\phi^-\rangle_{35}) + |1\rangle_1 (|\phi^+\rangle_{35} - |\phi^-\rangle_{35}) \right] \end{aligned} \quad (15)$$

$$\begin{aligned} |g_1\rangle_{123} \otimes |\phi^+\rangle_{45} &= \frac{1}{4} |00\rangle_{35} \left[|0\rangle_1 (|\phi^+\rangle_{24} - |\phi^-\rangle_{24}) + |1\rangle_1 (|\phi^+\rangle_{24} + |\phi^-\rangle_{24}) \right] \\ &\quad + \frac{1}{4} |01\rangle_{35} \left[|0\rangle_1 (|\phi^+\rangle_{24} - |\phi^-\rangle_{24}) + |1\rangle_1 (|\phi^+\rangle_{24} + |\phi^-\rangle_{24}) \right] \\ &\quad + \frac{1}{4} |10\rangle_{35} \left[|0\rangle_1 (|\phi^+\rangle_{24} + |\phi^-\rangle_{24}) + |1\rangle_1 (|\phi^+\rangle_{24} - |\phi^-\rangle_{24}) \right] \\ &\quad + \frac{1}{4} |11\rangle_{35} \left[|0\rangle_1 (|\phi^+\rangle_{24} + |\phi^-\rangle_{24}) + |1\rangle_1 (|\phi^+\rangle_{24} - |\phi^-\rangle_{24}) \right] \end{aligned} \quad (16)$$

$$\begin{aligned} |g_1\rangle_{123} \otimes |\phi^+\rangle_{45} &= \frac{1}{2\sqrt{2}} \begin{pmatrix} |0\rangle_1 |\phi^+\rangle_{24} |\phi^+\rangle_{35} - |0\rangle_1 |\phi^-\rangle_{24} |\phi^-\rangle_{35} \\ + |0\rangle_1 |\phi^+\rangle_{24} |\phi^-\rangle_{35} - |0\rangle_1 |\phi^-\rangle_{24} |\phi^+\rangle_{35} \\ + |1\rangle_1 |\phi^+\rangle_{24} |\phi^+\rangle_{35} + |1\rangle_1 |\phi^-\rangle_{24} |\phi^-\rangle_{35} \\ + |1\rangle_1 |\phi^+\rangle_{24} |\phi^-\rangle_{35} + |1\rangle_1 |\phi^-\rangle_{24} |\phi^+\rangle_{35} \end{pmatrix} \end{aligned} \quad (17)$$

假设 Alice 和 Bob 是两个都具有有限量子能力的半量子通信者. Alice 的隐秘信息为 $M_A=(M_A^0, M_A^1, \dots, M_A^{L-1})$, Bob 的隐秘信息为 $M_B=(M_B^0, M_B^1, \dots, M_B^{L-1})$, 其中, $M_A^i, M_B^i \in \{0, 1\}, i=0, 1, \dots, L-1, L$ 为隐秘信息的长度. Alice 和 Bob 试图借助一个拥有完全量子能力的半忠诚第三方(Third Party, TP)来比较出 M_A 和 M_B 的相等性. 这里, TP 被假定为不能与她人合谋但被允许发起任何攻击^[26].

所提出的 SQPC 协议流程被描述如下, 其中三方的测量结果 $|0\rangle$ 都对应经典比特 0, 三方的测量结果 $|1\rangle$ 都对应经典比特 1.

步骤 1 Alice 和 Bob 利用文献 [27] 的带 TP 的 SQKD 协议预共享密钥序列 $K_{AB}=(K_{AB}^0, K_{AB}^1, \dots, K_{AB}^{L-1})$, 其中 $K_{AB}^i \in \{0, 1\}, i=0, 1, \dots, L-1$.

步骤 2 TP 制备 $8L$ 个类 GHZ 态都处于 $|\vartheta\rangle$ 以构成序列 $S_1=[P_1^0 P_2^0 P_3^0, P_1^1 P_2^1 P_3^1, \dots, P_1^{8L-1} P_2^{8L-1} P_3^{8L-1}]$, 并且制备 $8L$ 个 Bell 态都处于 $|\phi^+\rangle$ 以构成序列 $S_2=[P_4^0 P_5^0, P_4^1 P_5^1, \dots, P_4^{8L-1} P_5^{8L-1}]$. 这里, 上标 $\{0, 1, \dots, 8L-1\}$ 表示 TP 制备的量子纠缠态的序号, 下标 $\{1, 2, 3\}$ 表示 S_1 中每个类 GHZ 态的三个不同粒子, 下标 $\{4, 5\}$ 表示 S_2 中每个 Bell 态的两个不同粒子. 然后, TP 提取 S_1 中每个类 GHZ 态的第一个粒子组成序列 $S_C=[P_1^0, P_1^1, \dots, P_1^{8L-1}]$, 提取 S_1 中每个类 GHZ 态的第二个粒子和 S_2 中每个 Bell 态的第四个粒子组成序列 $S_A=[P_2^0 P_4^0, P_2^1 P_4^1, \dots, P_2^{8L-1} P_4^{8L-1}]$, 并且提取 S_1 中每个类 GHZ 态的第三个粒子和 S_2 中每个 Bell 态的第五个粒子组成序列 $S_B=[P_3^0 P_5^0, P_3^1 P_5^1, \dots, P_3^{8L-1} P_5^{8L-1}]$. 最后, TP 把 S_C 保留在自己手中, 并将 S_A 和 S_B 分别发送给 Alice 和 Bob. 除了第一对粒子外, TP 只有在收到前一对粒子后才将下一对粒子发送给 Alice 和 Bob.

步骤 3 Alice 在自己的设备前安装波长滤波器和光子数分割器以抵抗特洛伊木马攻击^[28, 29]. Alice 随机选择进入 REFLECT 模式或 MEASURE 模式. 在 REFLECT 模式下, Alice 直接将接收到的 S_A 的一对粒子无干扰地反射给 TP, 而在 MEASURE 模式下, Alice 用 Z 基测量接收到的 S_A 的一对粒子, 制备新的量子态处于所测量到的状态并发送给 TP. 根据测量结果, Alice 得到一个二进制序列 $C_A=(C_A^0, C_A^1, \dots, C_A^{4L-1})$, 其中 $C_A^j \in \{00, 01, 10, 11\}, j=0, 1, \dots, 4L-1$.

Bob 在自己的设备前安装波长滤波器和光子数分割器以抵抗特洛伊木马攻击^[28, 29]. Bob 随机选择进入 REFLECT 模式或 MEASURE 模式. 在 REFLECT 模式下, Bob 直接将接收到的 S_B 的一对粒子无干扰地反射给 TP, 而在 MEASURE 模式下, Bob 用 Z 基测量接收到的 S_B 的一对粒子, 制备新的量子态处于所测量到的状态

并发送给 TP. 根据测量结果, Bob 得到一个二进制序列 $C_B=(C_B^0, C_B^1, \dots, C_B^{4L-1})$, 其中 $C_B^j \in \{00, 01, 10, 11\}, j=0, 1, \dots, 4L-1$.

步骤 4 在 TP 宣布已收到 S_A 和 S_B 后, Alice 和 Bob 分别向 TP 公布她们对粒子进行的操作. 这里存在四种情形.

情形 1 Alice 和 Bob 都选择了 REFLECT 模式. 这种情形用于窃听检测. TP 选出这种情形的三分之一位置, 用 Z 基测量 P_1^i , 并用 Bell 基分别测量 $P_2^i P_4^i$ 和 $P_3^i P_5^i$. 如果 TP 对 P_1^i 的 Z 基测量结果、对 $P_2^i P_4^i$ 的 Bell 基测量结果和对 $P_3^i P_5^i$ 的 Bell 基测量结果都满足式 (17), 协议将被继续进行; 否则, 协议将被中止.

TP 选出这种情形的三分之一位置, 用 Z 基测量 $P_1^i P_2^i P_3^i$, 并用 Bell 基测量 $P_4^i P_5^i$. 如果 TP 对 $P_1^i P_2^i P_3^i$ 的 Z 基测量结果、对 $P_4^i P_5^i$ 的 Bell 基测量结果都满足式 (13), 协议将被继续进行; 否则, 协议将被中止.

TP 选出这种情形的剩余三分之一位置, 用类 GHZ 基测量 $P_1^i P_2^i P_3^i$, 并用 Bell 基测量 $P_4^i P_5^i$. 如果 TP 对 $P_1^i P_2^i P_3^i$ 的类 GHZ 基测量结果、对 $P_4^i P_5^i$ 的 Bell 基测量结果都满足式 (13), 协议将被继续进行; 否则, 协议将被中止.

情形 2 Alice 选择了 REFLECT 模式, 而 Bob 选择了 MEASURE 模式. 这种情形用于窃听检测. TP 用 Z 基分别测量 P_1^i 和 $P_3^i P_5^i$, 并用 Bell 基测量 $P_2^i P_4^i$. TP 要求 Bob 告知他对 $P_3^i P_5^i$ 的 Z 基测量结果. 对于所有的 i , TP 判断自己对 $P_3^i P_5^i$ 的 Z 基测量结果是否和 Bob 对 $P_3^i P_5^i$ 的 Z 基测量结果一致; 而且, TP 判断自己对 P_1^i 的 Z 基测量结果、对 $P_3^i P_5^i$ 的 Z 基测量结果和对 $P_2^i P_4^i$ 的 Bell 基测量结果是否满足式 (16). 如果以上都满足, 协议将被继续进行; 否则, 协议将被中止.

情形 3 Alice 选择了 MEASURE 模式, 而 Bob 选择了 REFLECT 模式. 这种情形用于窃听检测. TP 用 Z 基分别测量 P_1^i 和 $P_2^i P_4^i$, 并用 Bell 基测量 $P_3^i P_5^i$. TP 要求 Alice 告知她对 $P_2^i P_4^i$ 的 Z 基测量结果. 对于所有的 i , TP 判断自己对 $P_2^i P_4^i$ 的 Z 基测量结果是否和 Alice 对 $P_2^i P_4^i$ 的 Z 基测量结果一致; 而且, TP 判断自己对 P_1^i 的 Z 基测量结果、对 $P_2^i P_4^i$ 的 Z 基测量结果和对 $P_3^i P_5^i$ 的 Bell 基测量结果是否满足式 (15). 如果以上都满足, 协议将被继续进行; 否则, 协议将被中止.

情形 4 Alice 和 Bob 都选择了 MEASURE 模式. TP 用 Z 基分别测量 $P_1^i, P_2^i P_4^i$ 和 $P_3^i P_5^i$, 这种情形用于窃听检测和隐私比较. TP 选择这种情形一半的粒子用于窃听检测, 并将选中的位置告诉 Alice 和 Bob. TP 要求 Alice 告知她对所选中的 $P_2^i P_4^i$ 的 Z 基测量结果, 并且要求 Bob 告知他对所选中的 $P_3^i P_5^i$ 的 Z 基测量结果. 对于所选中的位置, TP 判断自己对 $P_2^i P_4^i$ 的 Z 基测量结果是否和

Alice 对 $P_2^i P_4^i$ 的 Z 基测量结果一致, 并且判断自己对 $P_3^i P_5^i$ 的 Z 基测量结果是否和 Bob 对 $P_3^i P_5^i$ 的 Z 基测量结果一致; 而且, TP 判断自己对所选中的 P_1^i 的 Z 基测量结果、对所选中的 $P_2^i P_4^i$ 的 Z 基测量结果和对所选中的 $P_3^i P_5^i$ 的 Z 基测量结果是否满足式 (14). 如果以上都满足, 协议将被继续进行; 否则, 协议将被中止.

步骤 5 TP 判断情形 4 的剩余位置的个数是否大于等于 L . 如果大于 L , 协议将被继续进行; 否则, 协议将被中止并重新开始.

步骤 6 Alice 利用情形 4 的剩余前 L 个位置根据以下规则产生序列 $K_A=(K_A^0, K_A^1, \dots, K_A^{L-1})$: 如果 C_A^i 为 00 或 11, 那么 $K_A^i=0$; 如果 C_A^i 为 01 或 10, 那么 $K_A^i=1$. 这里, $i=0, 1, \dots, L-1$. 然后, Alice 计算

$$R_A^i = M_A^i \oplus K_A^i \oplus K_{AB}^i \quad (18)$$

其中, 符号 \oplus 表示进行异或操作. 最后, Alice 通过认证经典信道将序列 R_A 发送给 TP, 其中 $R_A=(R_A^0, R_A^1, \dots, R_A^{L-1})$.

Bob 利用情形 4 的剩余前 L 个位置根据以下规则产生序列 $K_B=(K_B^0, K_B^1, \dots, K_B^{L-1})$: 如果 C_B^i 为 00 或 11, 那么 $K_B^i=0$; 如果 C_B^i 为 01 或 10, 那么 $K_B^i=1$. 这里, $i=0, 1, \dots, L-1$. 然后, Bob 计算:

$$R_B^i = M_B^i \oplus K_B^i \oplus K_{AB}^i \quad (19)$$

最后, Bob 通过认证经典信道将序列 R_B 发送给 TP, 其中, $R_B=(R_B^0, R_B^1, \dots, R_B^{L-1})$.

步骤 7 TP 计算:

$$T^i = R_A^i \oplus R_B^i \oplus (K_C^i \oplus 1) \quad (20)$$

其中, $K_C^i \in \{0, 1\}$ 为 TP 对情形 4 的剩余前 L 个位置中 P_1^i 的测量结果所对应的经典比特, $i=0, 1, \dots, L-1$. 如果 TP 发现对于某个 i 存在 $T^i \neq 0$, 那么她将得出 $M_A \neq M_B$; 反之, 她将得出 $M_A = M_B$. 最后, TP 向 Alice 和 Bob 公布最终的比较结果.

3 正确性分析

根据式 (14), 可以轻易得到 $K_A^i \oplus K_B^i \oplus K_C^i = 1$. 因此, 将式 (18) 和式 (19) 代入式 (20) 可以得到

$$\begin{aligned} T^i &= R_A^i \oplus R_B^i \oplus (K_C^i \oplus 1) \\ &= (M_A^i \oplus K_A^i \oplus K_{AB}^i) \oplus (M_B^i \oplus K_B^i \oplus K_{AB}^i) \oplus (K_C^i \oplus 1) \quad (21) \\ &= M_A^i \oplus K_A^i \oplus M_B^i \oplus K_B^i \oplus K_C^i \oplus 1 \\ &= M_A^i \oplus M_B^i \end{aligned}$$

显然, 如果 $T^i \neq 0$, 那么将有 $M_A^i \neq M_B^i$. 因此, 所提出的 SQPC 协议的输出是正确的.

4 针对外部窃听者的鲁棒性

文献 [3] 将半量子密码协议针对外部窃听者的攻击的鲁棒性分为完全鲁棒、部分鲁棒和完全非鲁棒三类. 接下来本文将证明所提出的 SQPC 协议针对外部窃听者的攻击具有完全鲁棒性.

外部窃听器 Eve 利用两个酉操作 U_E 和 U_F 发起如图 1 所示的攻击. 具体来说, Eve 将 U_E 作用在 TP 发送给 Alice 的 S_A 的粒子、TP 发送给 Bob 的 S_B 的粒子以及自己的辅助粒子 $|\xi\rangle$, 然后将 U_F 作用在 Alice 发送给 TP 的粒子、Bob 发送给 TP 的粒子以及自己的辅助粒子. 这里, U_E 和 U_F 共享一个初始状态为 $|\xi\rangle$ 的共同探测空间. 根据定理 1 及其证明可知, 为了在步骤 4 中不引入错误, Eve 无法获得关于 C_A 或 C_B 的任何有用信息.

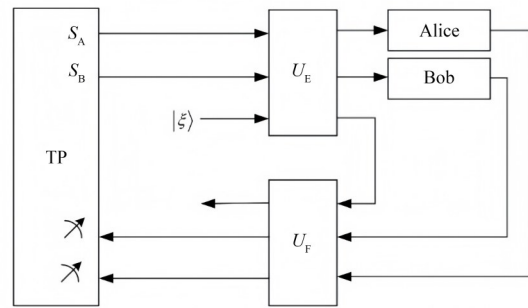


图 1 Eve 的纠缠-测量攻击

定理 1 假设 Eve 将 U_E 作用在 TP 发送给 Alice 的 S_A 的粒子、TP 发送给 Bob 的 S_B 的粒子以及自己的辅助粒子 $|\xi\rangle$, 然后将 U_F 作用在 Alice 发送给 TP 的粒子、Bob 发送给 TP 的粒子以及自己的辅助粒子. 为了在步骤 4 中不引入错误, Eve 的探测态的最终状态不仅要独立于 Alice、Bob 和 TP 的操作, 而且还要独立于她们的测量结果. 因此, Eve 无法获得关于 C_A 或 C_B 的任何有用信息.

证明 U_E 对状态 $|0\rangle$ 和 $|1\rangle$ 的影响可被描述为

$$U_E(|0\rangle|\xi\rangle_E) = \beta_{00}|0\rangle|\xi_{00}\rangle + \beta_{01}|1\rangle|\xi_{01}\rangle \quad (22)$$

$$U_E(|1\rangle|\xi\rangle_E) = \beta_{10}|0\rangle|\xi_{10}\rangle + \beta_{11}|1\rangle|\xi_{11}\rangle \quad (23)$$

其中 $|\xi_{00}\rangle, |\xi_{01}\rangle, |\xi_{10}\rangle$ 和 $|\xi_{11}\rangle$ 是 Eve 的探测态, $|\beta_{00}|^2 + |\beta_{01}|^2 = 1$ 且 $|\beta_{10}|^2 + |\beta_{11}|^2 = 1$.

根据 Stinespring 扩张定理, 在 Eve 执行 U_E 后, 复合系统的全局状态为

$$\begin{aligned} &U_E(|\mathcal{G}_1\rangle_{123} \otimes |\phi^+\rangle_{45} \otimes |\xi\rangle_E) \\ &= U_E \left[\frac{1}{2} (|001\rangle + |010\rangle + |100\rangle + |111\rangle)_{123} \right. \\ &\quad \left. \otimes \frac{1}{\sqrt{2}} (|00\rangle + |11\rangle)_{45} \otimes |\xi\rangle_E \right] \\ &= \frac{1}{2\sqrt{2}} \left[|0\rangle_1 (\beta_{00}|0\rangle_2 |\xi_{00}\rangle + \beta_{01}|1\rangle_2 |\xi_{01}\rangle) \right. \\ &\quad \cdot (\beta_{00}|0\rangle_4 |\xi_{00}\rangle + \beta_{01}|1\rangle_4 |\xi_{01}\rangle) \\ &\quad \left. \cdot (\beta_{10}|0\rangle_3 |\xi_{10}\rangle + \beta_{11}|1\rangle_3 |\xi_{11}\rangle) \right] \end{aligned}$$

$$U_F(|0\rangle_1|10\rangle_{24}|00\rangle_{35}|E_{1000}^0\rangle) = |0\rangle_1|10\rangle_{24}|00\rangle_{35}|F_{1000}^0\rangle \quad (29)$$

$$U_F(|0\rangle_1|11\rangle_{24}|01\rangle_{35}|E_{1101}^0\rangle) = |0\rangle_1|11\rangle_{24}|01\rangle_{35}|F_{1101}^0\rangle \quad (30)$$

$$U_F(|1\rangle_1|00\rangle_{24}|00\rangle_{35}|E_{0000}^1\rangle) = |1\rangle_1|00\rangle_{24}|00\rangle_{35}|F_{0000}^1\rangle \quad (31)$$

$$U_F(|1\rangle_1|01\rangle_{24}|01\rangle_{35}|E_{0101}^1\rangle) = |1\rangle_1|01\rangle_{24}|01\rangle_{35}|F_{0101}^1\rangle \quad (32)$$

$$U_F(|1\rangle_1|10\rangle_{24}|10\rangle_{35}|E_{1010}^1\rangle) = |1\rangle_1|10\rangle_{24}|10\rangle_{35}|F_{1010}^1\rangle \quad (33)$$

$$U_F(|1\rangle_1|11\rangle_{24}|11\rangle_{35}|E_{1111}^1\rangle) = |1\rangle_1|11\rangle_{24}|11\rangle_{35}|F_{1111}^1\rangle \quad (34)$$

(2) 考虑 Alice 选择 MEASURE 模式且 Bob 选择 REFLECT 模式的情况. 当 Alice 对 $P_2^i P_4^j$ 的 Z 基测量结果为 $|00\rangle_{24}$ 时, 式(24)的复合系统的状态被演化成

$$\begin{aligned} &|0\rangle_1|00\rangle_{24}|00\rangle_{35}|E_{0000}^0\rangle + |0\rangle_1|00\rangle_{24}|01\rangle_{35}|E_{0001}^0\rangle \\ &+ |0\rangle_1|00\rangle_{24}|10\rangle_{35}|E_{0010}^0\rangle + |0\rangle_1|00\rangle_{24}|11\rangle_{35}|E_{0011}^0\rangle \\ &+ |1\rangle_1|00\rangle_{24}|00\rangle_{35}|E_{0000}^1\rangle + |1\rangle_1|00\rangle_{24}|01\rangle_{35}|E_{0001}^1\rangle \\ &+ |1\rangle_1|00\rangle_{24}|10\rangle_{35}|E_{0010}^1\rangle + |1\rangle_1|00\rangle_{24}|11\rangle_{35}|E_{0011}^1\rangle; \end{aligned}$$

当 Alice 对 $P_2^i P_4^j$ 的 Z 基测量结果为 $|01\rangle_{24}$ 时, 式(24)的复合系统的状态被演化成

$$\begin{aligned} &|0\rangle_1|01\rangle_{24}|00\rangle_{35}|E_{0100}^0\rangle + |0\rangle_1|01\rangle_{24}|01\rangle_{35}|E_{0101}^0\rangle \\ &+ |0\rangle_1|01\rangle_{24}|10\rangle_{35}|E_{0110}^0\rangle + |0\rangle_1|01\rangle_{24}|11\rangle_{35}|E_{0111}^0\rangle \\ &+ |1\rangle_1|01\rangle_{24}|00\rangle_{35}|E_{0100}^1\rangle + |1\rangle_1|01\rangle_{24}|01\rangle_{35}|E_{0101}^1\rangle \\ &+ |1\rangle_1|01\rangle_{24}|10\rangle_{35}|E_{0110}^1\rangle + |1\rangle_1|01\rangle_{24}|11\rangle_{35}|E_{0111}^1\rangle; \end{aligned}$$

当 Alice 对 $P_2^i P_4^j$ 的 Z 基测量结果为 $|10\rangle_{24}$ 时, 式(24)的复合系统的状态被演化成

$$\begin{aligned} &|0\rangle_1|10\rangle_{24}|00\rangle_{35}|E_{1000}^0\rangle + |0\rangle_1|10\rangle_{24}|01\rangle_{35}|E_{1001}^0\rangle \\ &+ |0\rangle_1|10\rangle_{24}|10\rangle_{35}|E_{1010}^0\rangle + |0\rangle_1|10\rangle_{24}|11\rangle_{35}|E_{1011}^0\rangle \\ &+ |1\rangle_1|10\rangle_{24}|00\rangle_{35}|E_{1000}^1\rangle + |1\rangle_1|10\rangle_{24}|01\rangle_{35}|E_{1001}^1\rangle \\ &+ |1\rangle_1|10\rangle_{24}|10\rangle_{35}|E_{1010}^1\rangle + |1\rangle_1|10\rangle_{24}|11\rangle_{35}|E_{1011}^1\rangle; \end{aligned}$$

当 Alice 对 $P_2^i P_4^j$ 的 Z 基测量结果为 $|11\rangle_{24}$ 时, 式(24)的复合系统的状态被演化成

$$\begin{aligned} &|0\rangle_1|11\rangle_{24}|00\rangle_{35}|E_{1100}^0\rangle + |0\rangle_1|11\rangle_{24}|01\rangle_{35}|E_{1101}^0\rangle \\ &+ |0\rangle_1|11\rangle_{24}|10\rangle_{35}|E_{1110}^0\rangle + |0\rangle_1|11\rangle_{24}|11\rangle_{35}|E_{1111}^0\rangle \\ &+ |1\rangle_1|11\rangle_{24}|00\rangle_{35}|E_{1100}^1\rangle + |1\rangle_1|11\rangle_{24}|01\rangle_{35}|E_{1101}^1\rangle \\ &+ |1\rangle_1|11\rangle_{24}|10\rangle_{35}|E_{1110}^1\rangle + |1\rangle_1|11\rangle_{24}|11\rangle_{35}|E_{1111}^1\rangle. \end{aligned}$$

首先, 考虑 Alice 对 $P_2^i P_4^j$ 的 Z 基测量结果为 $|00\rangle_{24}$ 的情况. 在 Eve 对 Alice 和 Bob 返回给 TP 的粒子以及自己的辅助粒子执行 U_F 后, 根据式(25)、式(26)、式(27)

和式(31), 复合系统的状态被演化为

$$\begin{aligned} &U_F(|0\rangle_1|00\rangle_{24}|00\rangle_{35}|E_{0000}^0\rangle + |0\rangle_1|00\rangle_{24}|01\rangle_{35}|E_{0001}^0\rangle \\ &+ |0\rangle_1|00\rangle_{24}|10\rangle_{35}|E_{0010}^0\rangle + |0\rangle_1|00\rangle_{24}|11\rangle_{35}|E_{0011}^0\rangle \\ &+ |1\rangle_1|00\rangle_{24}|00\rangle_{35}|E_{0000}^1\rangle + |1\rangle_1|00\rangle_{24}|01\rangle_{35}|E_{0001}^1\rangle \\ &+ |1\rangle_1|00\rangle_{24}|10\rangle_{35}|E_{0010}^1\rangle + |1\rangle_1|00\rangle_{24}|11\rangle_{35}|E_{0011}^1\rangle) \\ &= U_F(|0\rangle_1|00\rangle_{24}|10\rangle_{35}|E_{0010}^0\rangle + |1\rangle_1|00\rangle_{24}|00\rangle_{35}|E_{0000}^0\rangle) \\ &= \frac{1}{\sqrt{2}} \left[|0\rangle_1|00\rangle_{24} \left(|\phi^+\rangle_{35} - |\phi^-\rangle_{35} \right) |F_{0010}^0\rangle \right. \\ &\quad \left. + |1\rangle_1|00\rangle_{24} \left(|\phi^+\rangle_{35} + |\phi^-\rangle_{35} \right) |F_{0000}^1\rangle \right] \quad (35) \end{aligned}$$

为了使 Eve 在步骤 4 中不被检测到, TP 对 $P_2^i P_4^j$ 的 Z 基测量结果应和 Alice 对 $P_2^i P_4^j$ 的 Z 基测量结果一致; 而且, TP 对 P_1^i 的基测量结果、对 $P_2^i P_4^j$ 的 Z 基测量结果和对 $P_3^i P_5^j$ 的 Bell 基测量结果应满足式(15). 根据式(35), 这些要求自然满足.

第二, 考虑 Alice 对 $P_2^i P_4^j$ 的 Z 基测量结果为 $|01\rangle_{24}$ 的情况. 在 Eve 对 Alice 和 Bob 返回给 TP 的粒子以及自己的辅助粒子执行 U_F 后, 根据式(25)、式(26)、式(28)和式(32), 复合系统的状态被演化为

$$\begin{aligned} &U_F(|0\rangle_1|01\rangle_{24}|00\rangle_{35}|E_{0100}^0\rangle + |0\rangle_1|01\rangle_{24}|01\rangle_{35}|E_{0101}^0\rangle \\ &+ |0\rangle_1|01\rangle_{24}|10\rangle_{35}|E_{0110}^0\rangle + |0\rangle_1|01\rangle_{24}|11\rangle_{35}|E_{0111}^0\rangle \\ &+ |1\rangle_1|01\rangle_{24}|00\rangle_{35}|E_{0100}^1\rangle + |1\rangle_1|01\rangle_{24}|01\rangle_{35}|E_{0101}^1\rangle \\ &+ |1\rangle_1|01\rangle_{24}|10\rangle_{35}|E_{0110}^1\rangle + |1\rangle_1|01\rangle_{24}|11\rangle_{35}|E_{0111}^1\rangle) \\ &= U_F(|0\rangle_1|01\rangle_{24}|11\rangle_{35}|E_{0111}^0\rangle + |1\rangle_1|01\rangle_{24}|01\rangle_{35}|E_{0101}^0\rangle) \\ &= \frac{1}{\sqrt{2}} \left[|0\rangle_1|01\rangle_{24} \left(|\phi^+\rangle_{35} - |\phi^-\rangle_{35} \right) |F_{0111}^0\rangle \right. \\ &\quad \left. + |1\rangle_1|01\rangle_{24} \left(|\phi^+\rangle_{35} + |\phi^-\rangle_{35} \right) |F_{0101}^1\rangle \right] \quad (36) \end{aligned}$$

为了使 Eve 在步骤 4 中不被检测到, TP 对 $P_2^i P_4^j$ 的 Z 基测量结果应和 Alice 对 $P_2^i P_4^j$ 的 Z 基测量结果一致; 而且, TP 对 P_1^i 的 Z 基测量结果、对 $P_2^i P_4^j$ 的 Z 基测量结果和对 $P_3^i P_5^j$ 的 Bell 基测量结果应满足式(15). 根据式(36), 这些要求自然满足.

第三, 考虑 Alice 对 $P_2^i P_4^j$ 的 Z 基测量结果为 $|10\rangle_{24}$ 的情况. 在 Eve 对 Alice 和 Bob 返回给 TP 的粒子以及自己的辅助粒子执行 U_F 后, 根据式(25)、式(26)、式(29)和(33), 复合系统的状态被演化为

$$\begin{aligned} &U_F(|0\rangle_1|10\rangle_{24}|00\rangle_{35}|E_{1000}^0\rangle + |0\rangle_1|10\rangle_{24}|01\rangle_{35}|E_{1001}^0\rangle \\ &+ |0\rangle_1|10\rangle_{24}|10\rangle_{35}|E_{1010}^0\rangle + |0\rangle_1|10\rangle_{24}|11\rangle_{35}|E_{1011}^0\rangle \\ &+ |1\rangle_1|10\rangle_{24}|00\rangle_{35}|E_{1000}^1\rangle + |1\rangle_1|10\rangle_{24}|01\rangle_{35}|E_{1001}^1\rangle \end{aligned}$$

$$\begin{aligned}
& +|1\rangle_1|10\rangle_{24}|10\rangle_{35}|E_{1010}^1\rangle + |1\rangle_1|10\rangle_{24}|11\rangle_{35}|E_{1011}^1\rangle) \\
& = U_F(|0\rangle_1|10\rangle_{24}|00\rangle_{35}|E_{1000}^0\rangle + |1\rangle_1|10\rangle_{24}|10\rangle_{35}|E_{1010}^1\rangle) \\
& = \frac{1}{\sqrt{2}} \left[|0\rangle_1|10\rangle_{24}(|\phi^+\rangle_{35} + |\phi^-\rangle_{35})|F_{1000}^0\rangle \right. \\
& \quad \left. + |1\rangle_1|10\rangle_{24}(|\phi^+\rangle_{35} - |\phi^-\rangle_{35})|F_{1010}^1\rangle \right]
\end{aligned} \tag{37}$$

为了使 Eve 在步骤 4 中不被检测到, TP 对 $P_2^i P_4^i$ 的 Z 基测量结果应和 Alice 对 $P_2^i P_4^i$ 的 Z 基测量结果一致; 而且, TP 对 P_1^i 的 Z 基测量结果、对 $P_2^i P_4^i$ 的 Z 基测量结果和对 $P_3^i P_5^i$ 的 Bell 基测量结果应满足式 (15). 根据式 (37), 这些要求自然满足.

第四, 考虑 Alice 对 $P_2^i P_4^i$ 的 Z 基测量结果为 $|11\rangle_{24}$ 的情况. 在 Eve 对 Alice 和 Bob 返回给 TP 的粒子以及自己的辅助粒子执行 U_F 后, 根据式 (25)、式 (26)、式 (30) 和式 (34), 复合系统的状态被演化为

$$\begin{aligned}
& U_F(|0\rangle_1|11\rangle_{24}|00\rangle_{35}|E_{1100}^0\rangle + |0\rangle_1|11\rangle_{24}|01\rangle_{35}|E_{1101}^0\rangle \\
& \quad + |0\rangle_1|11\rangle_{24}|10\rangle_{35}|E_{1110}^0\rangle + |0\rangle_1|11\rangle_{24}|11\rangle_{35}|E_{1111}^0\rangle \\
& \quad + |1\rangle_1|11\rangle_{24}|00\rangle_{35}|E_{1100}^1\rangle + |1\rangle_1|11\rangle_{24}|01\rangle_{35}|E_{1101}^1\rangle \\
& \quad + |1\rangle_1|11\rangle_{24}|10\rangle_{35}|E_{1110}^1\rangle + |1\rangle_1|11\rangle_{24}|11\rangle_{35}|E_{1111}^1\rangle) \\
& = U_F(|0\rangle_1|11\rangle_{24}|01\rangle_{35}|E_{1101}^0\rangle + |1\rangle_1|11\rangle_{24}|11\rangle_{35}|E_{1101}^1\rangle) \\
& = \frac{1}{\sqrt{2}} \left[|0\rangle_1|11\rangle_{24}(|\phi^+\rangle_{35} + |\phi^-\rangle_{35})|F_{1101}^0\rangle \right. \\
& \quad \left. + |1\rangle_1|11\rangle_{24}(|\phi^+\rangle_{35} - |\phi^-\rangle_{35})|F_{1111}^1\rangle \right]
\end{aligned} \tag{38}$$

为了使 Eve 在步骤 4 中不被检测到, TP 对 $P_2^i P_4^i$ 的 Z 基测量结果应和 Alice 对 $P_2^i P_4^i$ 的 Z 基测量结果一致; 而且, TP 对 P_1^i 的 Z 基测量结果、对 $P_2^i P_4^i$ 的 Z 基测量结果和对 $P_3^i P_5^i$ 的 Bell 基测量结果应满足式 (15). 根据式 (38), 这些要求自然满足.

(3) 考虑 Alice 选择 REFLECT 模式且 Bob 选择 MEASURE 模式的情况. 当 Bob 对 $P_3^i P_5^i$ 的 Z 基测量结果为 $|00\rangle_{35}$ 时, 式 (24) 的复合系统的状态被演化成

$$\begin{aligned}
& |0\rangle_1|00\rangle_{24}|00\rangle_{35}|E_{0000}^0\rangle + |0\rangle_1|01\rangle_{24}|00\rangle_{35}|E_{0100}^0\rangle \\
& \quad + |0\rangle_1|10\rangle_{24}|00\rangle_{35}|E_{1000}^0\rangle + |0\rangle_1|11\rangle_{24}|00\rangle_{35}|E_{1100}^0\rangle \\
& \quad + |1\rangle_1|00\rangle_{24}|00\rangle_{35}|E_{0000}^1\rangle + |1\rangle_1|01\rangle_{24}|00\rangle_{35}|E_{0100}^1\rangle \\
& \quad + |1\rangle_1|10\rangle_{24}|00\rangle_{35}|E_{1000}^1\rangle + |1\rangle_1|11\rangle_{24}|00\rangle_{35}|E_{1100}^1\rangle;
\end{aligned}$$

当 Bob 对 $P_3^i P_5^i$ 的 Z 基测量结果为 $|01\rangle_{35}$ 时, 式 (24) 的复合系统的状态被演化成

$$\begin{aligned}
& |0\rangle_1|00\rangle_{24}|01\rangle_{35}|E_{0001}^0\rangle + |0\rangle_1|01\rangle_{24}|01\rangle_{35}|E_{0101}^0\rangle \\
& \quad + |0\rangle_1|10\rangle_{24}|01\rangle_{35}|E_{1001}^0\rangle + |0\rangle_1|11\rangle_{24}|01\rangle_{35}|E_{1101}^0\rangle \\
& \quad + |1\rangle_1|00\rangle_{24}|01\rangle_{35}|E_{0001}^1\rangle + |1\rangle_1|01\rangle_{24}|01\rangle_{35}|E_{0101}^1\rangle
\end{aligned}$$

$$+ |1\rangle_1|10\rangle_{24}|01\rangle_{35}|E_{1001}^1\rangle + |1\rangle_1|11\rangle_{24}|01\rangle_{35}|E_{1101}^1\rangle;$$

当 Bob 对 $P_3^i P_5^i$ 的 Z 基测量结果为 $|10\rangle_{35}$ 时, 式 (24) 的复合系统的状态被演化成

$$\begin{aligned}
& |0\rangle_1|00\rangle_{24}|10\rangle_{35}|E_{0010}^0\rangle + |0\rangle_1|01\rangle_{24}|10\rangle_{35}|E_{0110}^0\rangle \\
& \quad + |0\rangle_1|10\rangle_{24}|10\rangle_{35}|E_{1010}^0\rangle + |0\rangle_1|11\rangle_{24}|10\rangle_{35}|E_{1110}^0\rangle \\
& \quad + |1\rangle_1|00\rangle_{24}|10\rangle_{35}|E_{0010}^1\rangle + |1\rangle_1|01\rangle_{24}|10\rangle_{35}|E_{0110}^1\rangle \\
& \quad + |1\rangle_1|10\rangle_{24}|10\rangle_{35}|E_{1010}^1\rangle + |1\rangle_1|11\rangle_{24}|10\rangle_{35}|E_{1110}^1\rangle;
\end{aligned}$$

当 Bob 对 $P_3^i P_5^i$ 的 Z 基测量结果为 $|11\rangle_{35}$ 时, 式 (24) 的复合系统的状态被演化成

$$\begin{aligned}
& |0\rangle_1|00\rangle_{24}|11\rangle_{35}|E_{0011}^0\rangle + |0\rangle_1|01\rangle_{24}|11\rangle_{35}|E_{0111}^0\rangle \\
& \quad + |0\rangle_1|10\rangle_{24}|11\rangle_{35}|E_{1011}^0\rangle + |0\rangle_1|11\rangle_{24}|11\rangle_{35}|E_{1111}^0\rangle \\
& \quad + |1\rangle_1|00\rangle_{24}|11\rangle_{35}|E_{0011}^1\rangle + |1\rangle_1|01\rangle_{24}|11\rangle_{35}|E_{0111}^1\rangle \\
& \quad + |1\rangle_1|10\rangle_{24}|11\rangle_{35}|E_{1011}^1\rangle + |1\rangle_1|11\rangle_{24}|11\rangle_{35}|E_{1111}^1\rangle.
\end{aligned}$$

第一, 考虑 Bob 对 $P_3^i P_5^i$ 的 Z 基测量结果为 $|00\rangle_{35}$ 的情况. 在 Eve 对 Alice 和 Bob 返回给 TP 的粒子以及自己的辅助粒子执行 U_F 后, 根据式 (25)、式 (26)、式 (29) 和式 (31), 复合系统的状态被演化为

$$\begin{aligned}
& U_F(|0\rangle_1|00\rangle_{24}|00\rangle_{35}|E_{0000}^0\rangle + |0\rangle_1|01\rangle_{24}|00\rangle_{35}|E_{0100}^0\rangle \\
& \quad + |0\rangle_1|10\rangle_{24}|00\rangle_{35}|E_{1000}^0\rangle + |0\rangle_1|11\rangle_{24}|00\rangle_{35}|E_{1100}^0\rangle \\
& \quad + |1\rangle_1|00\rangle_{24}|00\rangle_{35}|E_{0000}^1\rangle + |1\rangle_1|01\rangle_{24}|00\rangle_{35}|E_{0100}^1\rangle \\
& \quad + |1\rangle_1|10\rangle_{24}|00\rangle_{35}|E_{1000}^1\rangle + |1\rangle_1|11\rangle_{24}|00\rangle_{35}|E_{1100}^1\rangle) \\
& = U_F(|0\rangle_1|10\rangle_{24}|00\rangle_{35}|E_{1000}^0\rangle + |1\rangle_1|00\rangle_{24}|00\rangle_{35}|E_{0000}^1\rangle) \\
& = \frac{1}{\sqrt{2}} \left[|0\rangle_1(|\phi^+\rangle_{24} + |\phi^-\rangle_{24})|00\rangle_{35}|F_{1000}^0\rangle \right. \\
& \quad \left. + |1\rangle_1(|\phi^+\rangle_{24} + |\phi^-\rangle_{24})|00\rangle_{35}|F_{0000}^1\rangle \right]
\end{aligned} \tag{39}$$

为了使 Eve 在步骤 4 中不被检测到, TP 对 $P_3^i P_5^i$ 的 Z 基测量结果应和 Bob 对 $P_3^i P_5^i$ 的 Z 基测量结果一致; 而且, TP 对 P_1^i 的 Z 基测量结果、对 $P_3^i P_5^i$ 的 Z 基测量结果和对 $P_2^i P_4^i$ 的 Bell 基测量结果应满足式 (16). 根据式 (39), 这些要求自然满足.

第二, 考虑 Bob 对 $P_3^i P_5^i$ 的 Z 基测量结果为 $|01\rangle_{35}$ 的情况. 在 Eve 对 Alice 和 Bob 返回给 TP 的粒子以及自己的辅助粒子执行 U_F 后, 根据式 (25)、式 (26)、式 (30) 和式 (32), 复合系统的状态被演化为

$$\begin{aligned}
& U_F(|0\rangle_1|00\rangle_{24}|01\rangle_{35}|E_{0001}^0\rangle + |0\rangle_1|01\rangle_{24}|01\rangle_{35}|E_{0101}^0\rangle \\
& \quad + |0\rangle_1|10\rangle_{24}|01\rangle_{35}|E_{1001}^0\rangle + |0\rangle_1|11\rangle_{24}|01\rangle_{35}|E_{1101}^0\rangle \\
& \quad + |1\rangle_1|00\rangle_{24}|01\rangle_{35}|E_{0001}^1\rangle + |1\rangle_1|01\rangle_{24}|01\rangle_{35}|E_{0101}^1\rangle \\
& \quad + |1\rangle_1|10\rangle_{24}|01\rangle_{35}|E_{1001}^1\rangle + |1\rangle_1|11\rangle_{24}|01\rangle_{35}|E_{1101}^1\rangle) \\
& = U_F(|0\rangle_1|11\rangle_{24}|01\rangle_{35}|E_{1101}^0\rangle + |1\rangle_1|01\rangle_{24}|01\rangle_{35}|E_{0101}^1\rangle)
\end{aligned}$$

$$\begin{aligned}
&= \frac{1}{\sqrt{2}} \left[|0\rangle_1 \left(|\phi^+\rangle_{24} - |\phi^-\rangle_{24} \right) |01\rangle_{35} |F_{1101}^0\rangle \right. \\
&\quad \left. + |1\rangle_1 \left(|\phi^+\rangle_{24} + |\phi^-\rangle_{24} \right) |01\rangle_{35} |F_{0101}^1\rangle \right] \\
&\quad (40)
\end{aligned}$$

为了使 Eve 在步骤 4 中不被检测到, TP 对 $P_3^i P_5^j$ 的 Z 基测量结果应和 Bob 对 $P_3^i P_5^j$ 的 Z 基测量结果一致; 而且, TP 对 P_1^i 的 Z 基测量结果、对 $P_3^i P_5^j$ 的 Z 基测量结果和对 $P_2^i P_4^j$ 的 Bell 基测量结果应满足式 (16). 根据式 (40), 这些要求自然满足.

第三, 考虑 Bob 对 $P_3^i P_5^j$ 的 Z 基测量结果为 $|10\rangle_{35}$ 的情况. 在 Eve 对 Alice 和 Bob 返回给 TP 的粒子以及自己的辅助粒子执行 U_F 后, 根据式 (25)、式 (26)、式 (27) 和式 (33), 复合系统的状态被演化为

$$\begin{aligned}
&U_F \left(|0\rangle_1 |00\rangle_{24} |10\rangle_{35} |E_{0010}^0\rangle + |0\rangle_1 |01\rangle_{24} |10\rangle_{35} |E_{0110}^0\rangle \right. \\
&\quad + |0\rangle_1 |10\rangle_{24} |10\rangle_{35} |E_{1010}^0\rangle + |0\rangle_1 |11\rangle_{24} |10\rangle_{35} |E_{1110}^0\rangle \\
&\quad + |1\rangle_1 |00\rangle_{24} |10\rangle_{35} |E_{0010}^1\rangle + |1\rangle_1 |01\rangle_{24} |10\rangle_{35} |E_{0110}^1\rangle \\
&\quad \left. + |1\rangle_1 |10\rangle_{24} |10\rangle_{35} |E_{1010}^1\rangle + |1\rangle_1 |11\rangle_{24} |10\rangle_{35} |E_{1110}^1\rangle \right) \\
&= U_F \left(|0\rangle_1 |00\rangle_{24} |10\rangle_{35} |E_{0010}^0\rangle + |1\rangle_1 |10\rangle_{24} |10\rangle_{35} |E_{1010}^1\rangle \right) \\
&= \frac{1}{\sqrt{2}} \left[|0\rangle_1 \left(|\phi^+\rangle_{24} + |\phi^-\rangle_{24} \right) |10\rangle_{35} |F_{0010}^0\rangle \right. \\
&\quad \left. + |1\rangle_1 \left(|\phi^+\rangle_{24} - |\phi^-\rangle_{24} \right) |10\rangle_{35} |F_{1010}^1\rangle \right] \\
&\quad (41)
\end{aligned}$$

为了使 Eve 在步骤 4 中不被检测到, TP 对 $P_3^i P_5^j$ 的 Z 基测量结果应和 Bob 对 $P_3^i P_5^j$ 的 Z 基测量结果一致; 而且, TP 对 P_1^i 的 Z 基测量结果、对 $P_3^i P_5^j$ 的 Z 基测量结果和对 $P_2^i P_4^j$ 的 Bell 基测量结果应满足式 (16). 根据式 (41), 这些要求自然满足.

第四, 考虑 Bob 对 $P_3^i P_5^j$ 的 Z 基测量结果为 $|11\rangle_{35}$ 的情况. 在 Eve 对 Alice 和 Bob 返回给 TP 的粒子以及自己的辅助粒子执行 U_F 后, 根据式 (25)、式 (26)、式 (28) 和式 (34), 复合系统的状态被演化为

$$\begin{aligned}
&U_F \left(|0\rangle_1 |00\rangle_{24} |11\rangle_{35} |E_{0011}^0\rangle + |0\rangle_1 |01\rangle_{24} |11\rangle_{35} |E_{0111}^0\rangle \right. \\
&\quad + |0\rangle_1 |10\rangle_{24} |11\rangle_{35} |E_{1011}^0\rangle + |0\rangle_1 |11\rangle_{24} |11\rangle_{35} |E_{1111}^0\rangle \\
&\quad + |1\rangle_1 |00\rangle_{24} |11\rangle_{35} |E_{0011}^1\rangle + |1\rangle_1 |01\rangle_{24} |11\rangle_{35} |E_{0111}^1\rangle \\
&\quad \left. + |1\rangle_1 |10\rangle_{24} |11\rangle_{35} |E_{1011}^1\rangle + |1\rangle_1 |11\rangle_{24} |11\rangle_{35} |E_{1111}^1\rangle \right) \\
&= U_F \left(|0\rangle_1 |01\rangle_{24} |11\rangle_{35} |E_{0111}^0\rangle + |1\rangle_1 |11\rangle_{24} |11\rangle_{35} |E_{1111}^1\rangle \right) \\
&= \frac{1}{\sqrt{2}} \left[|0\rangle_1 \left(|\phi^+\rangle_{24} + |\phi^-\rangle_{24} \right) |11\rangle_{35} |F_{0111}^0\rangle \right. \\
&\quad \left. + |1\rangle_1 \left(|\phi^+\rangle_{24} - |\phi^-\rangle_{24} \right) |11\rangle_{35} |F_{1111}^1\rangle \right] \\
&\quad (42)
\end{aligned}$$

为了使 Eve 在步骤 4 中不被检测到, TP 对 $P_3^i P_5^j$ 的 Z 基测量结果应和 Bob 对 $P_3^i P_5^j$ 的 Z 基测量结果一致; 而且, TP 对 P_1^i 的 Z 基测量结果、对 $P_3^i P_5^j$ 的 Z 基测量结果和对 $P_2^i P_4^j$ 的 Bell 基测量结果应满足式 (16). 根据式 (42), 这些要求自然满足.

(4) 考虑 Alice 和 Bob 都选择 REFLECT 模式的情况. 将式 (25) 和 (26) 代入式 (24) 得到:

$$\begin{aligned}
&U_E \left(|g_1\rangle_{123} \otimes |\phi^+\rangle_{45} \right) \\
&= \frac{1}{2\sqrt{2}} \left(|0\rangle_1 |00\rangle_{24} |10\rangle_{35} |E_{0010}^0\rangle + |0\rangle_1 |01\rangle_{24} |11\rangle_{35} |E_{0111}^0\rangle \right. \\
&\quad + |0\rangle_1 |10\rangle_{24} |00\rangle_{35} |E_{1000}^0\rangle + |0\rangle_1 |11\rangle_{24} |01\rangle_{35} |E_{1101}^0\rangle \\
&\quad + |1\rangle_1 |00\rangle_{24} |00\rangle_{35} |E_{0000}^1\rangle + |1\rangle_1 |01\rangle_{24} |01\rangle_{35} |E_{0101}^1\rangle \\
&\quad \left. + |1\rangle_1 |10\rangle_{24} |10\rangle_{35} |E_{1010}^1\rangle + |1\rangle_1 |11\rangle_{24} |11\rangle_{35} |E_{1111}^1\rangle \right) \\
&\quad (43)
\end{aligned}$$

在 Eve 对 Alice 和 Bob 返回给 TP 的粒子以及自己的辅助粒子执行 U_F 后, 根据式 (27)~(34), 复合系统的状态被演化为

$$\begin{aligned}
&U_F \left[U_E \left(|g_1\rangle_{123} \otimes |\phi^+\rangle_{45} \right) \right] \\
&= \frac{1}{2\sqrt{2}} U_F \left(|0\rangle_1 |00\rangle_{24} |10\rangle_{35} |E_{0010}^0\rangle \right. \\
&\quad + |0\rangle_1 |01\rangle_{24} |11\rangle_{35} |E_{0100}^0\rangle + |0\rangle_1 |10\rangle_{24} |00\rangle_{35} |E_{1000}^0\rangle \\
&\quad + |0\rangle_1 |11\rangle_{24} |01\rangle_{35} |E_{1101}^0\rangle + |1\rangle_1 |00\rangle_{24} |00\rangle_{35} |E_{0000}^1\rangle \\
&\quad + |1\rangle_1 |01\rangle_{24} |01\rangle_{35} |E_{0101}^1\rangle + |1\rangle_1 |10\rangle_{24} |10\rangle_{35} |E_{1010}^1\rangle \\
&\quad \left. + |1\rangle_1 |11\rangle_{24} |11\rangle_{35} |E_{1111}^1\rangle \right) \\
&= \frac{1}{4\sqrt{2}} \left[|0\rangle_1 |\phi^+\rangle_{24} |\phi^+\rangle_{35} \left(|F_{0010}^0\rangle + |F_{1101}^0\rangle \right) \right. \\
&\quad + |0\rangle_1 |\phi^+\rangle_{24} |\phi^-\rangle_{35} \left(|F_{1101}^0\rangle + |F_{0010}^0\rangle \right) \\
&\quad + |0\rangle_1 |\phi^-\rangle_{24} |\phi^+\rangle_{35} \left(|F_{0010}^0\rangle + |F_{1101}^0\rangle \right) \\
&\quad - |0\rangle_1 |\phi^-\rangle_{24} |\phi^-\rangle_{35} \left(|F_{1101}^0\rangle + |F_{0010}^0\rangle \right) \\
&\quad + |0\rangle_1 |\phi^+\rangle_{24} |\phi^+\rangle_{35} \left(|F_{0111}^0\rangle + |F_{1000}^0\rangle \right) \\
&\quad - |0\rangle_1 |\phi^+\rangle_{24} |\phi^-\rangle_{35} \left(|F_{0111}^0\rangle + |F_{1000}^0\rangle \right) \\
&\quad + |0\rangle_1 |\phi^-\rangle_{24} |\phi^+\rangle_{35} \left(|F_{0111}^0\rangle + |F_{1000}^0\rangle \right) \\
&\quad - |0\rangle_1 |\phi^-\rangle_{24} |\phi^-\rangle_{35} \left(|F_{0111}^0\rangle + |F_{1000}^0\rangle \right) \\
&\quad + |1\rangle_1 |\phi^+\rangle_{24} |\phi^+\rangle_{35} \left(|F_{0000}^1\rangle + |F_{1111}^1\rangle \right) \\
&\quad + |1\rangle_1 |\phi^+\rangle_{24} |\phi^-\rangle_{35} \left(|F_{0000}^1\rangle - |F_{1111}^1\rangle \right) \\
&\quad + |1\rangle_1 |\phi^-\rangle_{24} |\phi^+\rangle_{35} \left(|F_{0000}^1\rangle - |F_{1111}^1\rangle \right) \\
&\quad + |1\rangle_1 |\phi^-\rangle_{24} |\phi^-\rangle_{35} \left(|F_{0000}^1\rangle + |F_{1111}^1\rangle \right) \\
&\quad \left. + |1\rangle_1 |\phi^+\rangle_{24} |\phi^+\rangle_{35} \left(|F_{0101}^1\rangle + |F_{1010}^1\rangle \right) \right]
\end{aligned}$$

$$\begin{aligned}
& +|1\rangle_{13}|\phi^+\rangle_{24}|\phi^-\rangle_{35}\left(|F_{0101}^1\rangle - |F_{1010}^1\rangle\right) \\
& +|1\rangle_{13}|\phi^-\rangle_{24}|\phi^+\rangle_{35}\left(|F_{0101}^1\rangle - |F_{1010}^1\rangle\right) \\
& +|1\rangle_{13}|\phi^-\rangle_{24}|\phi^-\rangle_{35}\left(|F_{0101}^1\rangle + |F_{1010}^1\rangle\right)
\end{aligned} \quad (44)$$

为了使 Eve 在步骤 4 中不被检测到, TP 对 P_1^i 的 Z 基测量结果、对 $P_2^i P_4^i$ 的 Bell 基测量结果和对 $P_3^i P_5^i$ 的 Bell 基测量结果应满足式(17). 因此, 根据式(17)和式(44), 应当存在:

$$\begin{aligned}
|F_{1101}^0\rangle &= |F_{0010}^0\rangle, |F_{0111}^0\rangle = |F_{1000}^0\rangle, \\
|F_{0000}^1\rangle &= |F_{1111}^1\rangle, |F_{0101}^1\rangle = |F_{1010}^1\rangle
\end{aligned} \quad (45)$$

将式(45)代入式(44)可得:

$$\begin{aligned}
& U_F \left[U_E \left(|\mathcal{G}_1\rangle_{123} \otimes |\phi^+\rangle_{45} \right) \right] \\
&= \frac{1}{4} \left\{ |001\rangle_{123} \left[|\phi^+\rangle_{45} \left(|F_{0010}^0\rangle + |F_{0111}^0\rangle \right) \right. \right. \\
&\quad \left. \left. + |\phi^-\rangle_{45} \left(|F_{0010}^0\rangle - |F_{0111}^0\rangle \right) \right] \right. \\
&\quad \left. + |010\rangle_{123} \left[|\phi^+\rangle_{45} \left(|F_{0010}^0\rangle + |F_{0111}^0\rangle \right) \right. \right. \\
&\quad \left. \left. + |\phi^-\rangle_{45} \left(|F_{0010}^0\rangle - |F_{0111}^0\rangle \right) \right] \right. \\
&\quad \left. + |100\rangle_{123} \left[|\phi^+\rangle_{45} \left(|F_{0000}^1\rangle + |F_{0101}^1\rangle \right) \right. \right. \\
&\quad \left. \left. + |\phi^-\rangle_{45} \left(|F_{0000}^1\rangle - |F_{0101}^1\rangle \right) \right] \right. \\
&\quad \left. + |111\rangle_{123} \left[|\phi^+\rangle_{45} \left(|F_{0000}^1\rangle + |F_{0101}^1\rangle \right) \right. \right. \\
&\quad \left. \left. + |\phi^-\rangle_{45} \left(|F_{0101}^1\rangle - |F_{0000}^1\rangle \right) \right] \right\}
\end{aligned} \quad (46)$$

为了使 Eve 在步骤 4 中不被检测到, TP 对 $P_1^i P_2^i P_3^i$ 的 Z 基测量结果、对 $P_4^i P_5^i$ 的 Bell 基测量结果都应满足式(13). 因此, 根据式(13)和式(46), 应当存在:

$$|F_{0010}^0\rangle = |F_{0111}^0\rangle, |F_{0000}^1\rangle = |F_{0101}^1\rangle \quad (47)$$

将式(47)代入式(46)可得到

$$\begin{aligned}
& U_F \left[U_E \left(|\mathcal{G}_1\rangle_{123} \otimes |\phi^+\rangle_{45} \right) \right] \\
&= \frac{1}{2} \left(|001\rangle_{123} |F_{0010}^0\rangle + |010\rangle_{123} |F_{0010}^0\rangle \right. \\
&\quad \left. + |100\rangle_{123} |F_{0000}^1\rangle + |111\rangle_{123} |F_{0000}^1\rangle \right) |\phi^+\rangle_{45} \\
&= \frac{1}{2} \left[|\mathcal{G}_1\rangle_{123} \left(|F_{0010}^0\rangle + |F_{0000}^1\rangle \right) \right. \\
&\quad \left. + |\mathcal{G}_7\rangle_{123} \left(|F_{0010}^0\rangle - |F_{0000}^1\rangle \right) \right] |\phi^+\rangle_{45}
\end{aligned} \quad (48)$$

为了使 Eve 在步骤 4 中不被检测到, TP 对 $P_1^i P_2^i P_3^i$ 的类 GHZ 基测量结果、对 $P_4^i P_5^i$ 的 Bell 基测量结果都应满足式(13). 因此, 根据式(13)和式(48), 应当存在:

$$|F_{0010}^0\rangle = |F_{0000}^1\rangle \quad (49)$$

根据式(45)、式(47)和式(49)可得:

$$\begin{aligned}
|F_{1101}^0\rangle &= |F_{0010}^0\rangle = |F_{0111}^0\rangle = |F_{1000}^0\rangle = |F_{0000}^1\rangle \\
&= |F_{1111}^1\rangle = |F_{0101}^1\rangle = |F_{1010}^1\rangle = |F\rangle
\end{aligned} \quad (50)$$

(5) 将式(50)代入式(27)~(42)、式(44)和式(48)可知, 为了在步骤 4 中不引入错误, Eve 的探测态的最终状态不仅要独立于 Alice、Bob 和 TP 的操作, 而且还要独立于她们的测量结果. 因此, Eve 无法获得关于 C_A 或 C_B 的任何有用信息.

5 针对内部参与者攻击的安全性

文献[30]指出, 与外部攻击者相比, 内部参与者的攻击往往更具破坏性. 接下来将分析来自半忠诚 TP 的攻击和来自 Alice 或 Bob 的攻击.

(1) 来自半忠诚 TP 的攻击

TP 是半忠诚的, 也就是说, 她可以执行任何不当的行为, 但不能与其他任何人合谋. 在所提出的 SQPC 协议中, TP 很容易地分别从 Alice 和 Bob 获得 R_A 和 R_B . 另外, 根据协议流程, TP 自然会知道 K_A 和 K_B . 但是, 由于 K_{AB} 是通过文献[27]的 SQKD 协议被 Alice 和 Bob 共享, TP 无法得到 K_{AB} . 因此, 根据式(18), TP 没有办法得到 M_A ; 根据式(19), TP 没有办法得到 M_B .

(2) 来自不忠诚 Alice 或 Bob 的攻击

在所提出的 SQPC 协议中, Alice 的角色与 Bob 的角色类似. 不失一般性, 这里假设 Alice 是不忠诚的, 尝试用各种手段去得到 M_B . 首先, 如果 Alice 对 TP 发送给 Bob 的 S_B 的粒子以及 Bob 返回给 TP 的粒子发起各种攻击, 这时 Alice 实际上扮演着外部窃听者的角色, 那么根据第 4 部分的证明, Alice 要想攻击不被 TP 和 Bob 检测到就无法得到 K_B . 其次, Alice 可能会收到 TP 传送给 Bob 的 R_B . 但是由于无法知道 K_B , 根据式(19), Alice 没有办法得到 M_B .

6 基于 IBM Qiskit 的仿真

这里使用 IBM 公司的 Qiskit 来对本文协议进行实验仿真. 需要指出的是, 窃听攻击被忽略, 且以下所有仿真实验均被执行 1 024 次.

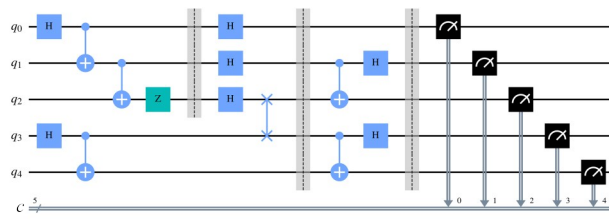
在本文协议中, TP 需制备 $|\mathcal{G}_1\rangle$ 和 $|\phi^+\rangle$. 图 2~图 4 中的 q_0, q_1, q_2, q_3 和 q_4 为初始状态都为 $|0\rangle$ 的 5 个量子比特, 分别对应于粒子 $P_1^i, P_2^i, P_3^i, P_4^i$ 和 P_5^i . 对 q_0 执行一个 Hadamard 门 (即 H 门), 接着以 q_0 为控制量子比特和 q_1 为目标量子比特执行一个 CNOT 门, 然后以 q_1 为控制量子比特和 q_2 为目标量子比特执行一个 CNOT 门, 然后对 q_2 执行 Z 门 (即 $Z=|0\rangle\langle 0| - |1\rangle\langle 1|$), 最后分别在 q_0, q_1 和 q_2 上执行 H 门, 就可以制备出 $|\mathcal{G}_1\rangle$. 对 q_3 执行一个 H 门, 然后以 q_3 为控制量子比特和 q_4 为目标量子比特执行一个 CNOT 门, 就可以制备出 $|\phi^+\rangle$. 对 q_2 和 q_3 执行 SWAP 门

可以实现纠缠交换操作. 实现 Bell 基测量, 只需先执行一个 CNOT 门和一个 H 门, 然后进行测量; 实现对类 GHZ 态 $|g_1\rangle$ 的测量, 需先执行三个 H 门和一个 Z 门, 接着执行两个 CNOT 门和一个 H 门, 再然后进行测量. 测量结果 $|00\rangle, |01\rangle, |10\rangle$ 和 $|11\rangle$ 分别对应 00、01、10 和 11; 测量结果 $|000\rangle, |001\rangle, |010\rangle, |011\rangle, |100\rangle, |101\rangle, |110\rangle$ 和 $|111\rangle$ 分别对应 000、001、010、011、100、101、110 和 111; 测量结果 $|\phi^+\rangle, |\phi^-\rangle, |\varphi^+\rangle, |\varphi^-\rangle$ 分别对应 00、01、10、11; 测量结果 $|g_1\rangle$ 对应 000.

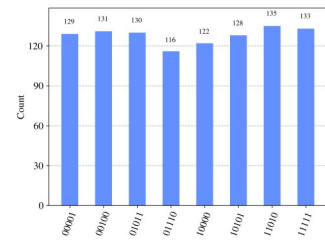
(1) Alice 和 Bob 都选择 REFLECT 模式. 这种情况

相应的量子线路及仿真结果如图 2 所示.

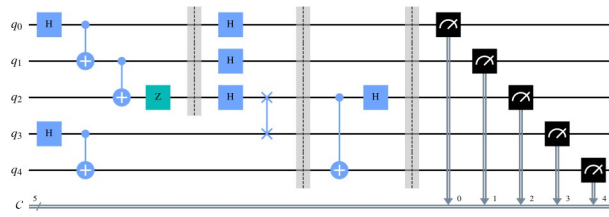
根据图 2(a), TP 使用 Z 基测量 P_1^I 并使用 Bell 基分别测量 $P_2^I P_4^I$ 和 $P_3^I P_5^I$. 从图 2(b) 中不难看出, 00001、00100、01011、01110、10000、10101、11010、11111 分别对应 TP 的测量结果 $|1\rangle|\phi^+\rangle|\phi^+\rangle, |0\rangle|\phi^+\rangle|\phi^+\rangle, |1\rangle|\phi^-\rangle|\phi^-\rangle, |0\rangle|\varphi^-\rangle|\phi^-\rangle, |0\rangle|\phi^+\rangle|\varphi^+\rangle, |1\rangle|\varphi^+\rangle|\varphi^+\rangle, |0\rangle|\phi^-\rangle|\varphi^-\rangle, |1\rangle|\varphi^-\rangle|\varphi^-\rangle$. 根据图 2(c), TP 使用 Z 基测量 $P_1^I P_2^I P_3^I$ 且使用 Bell 基测量 $P_4^I P_5^I$. 从图 2(d) 中不难看出, 00001、00010、01000、01011 分别对应 TP 的测量结果 $|100\rangle|\phi^+\rangle, |010\rangle|\phi^+\rangle, |001\rangle|\phi^+\rangle$ 和 $|111\rangle|\phi^+\rangle$.



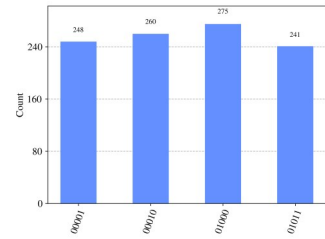
(a) TP 使用 Z 基测量 P_1^I 并使用 Bell 基测量 $P_2^I P_4^I$ 和 $P_3^I P_5^I$ 时的量子线路



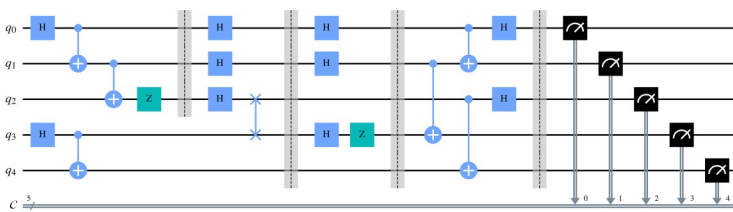
(b) (a) 的仿真结果



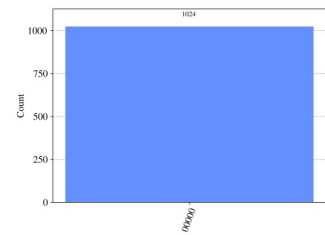
(c) TP 使用 Z 基测量 $P_1^I P_2^I P_3^I$ 且使用 Bell 基测量 $P_4^I P_5^I$ 时的量子线路



(d) (c) 的仿真结果

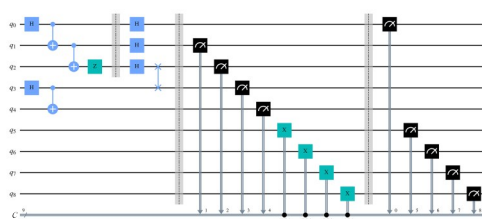


(e) TP 用类 GHZ 基测量并用 Bell 基测量时的量子线路

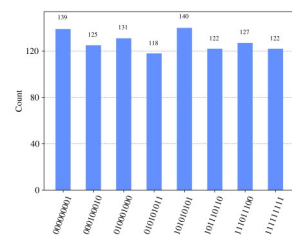


(f) (e) 的仿真结果

图 2 Alice 和 Bob 都选择 REFLECT 模式的相应量子线路及仿真结果

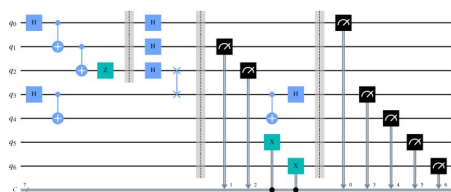


(a) Alice 和 Bob 都选择 MEASURE 模式的量子线路

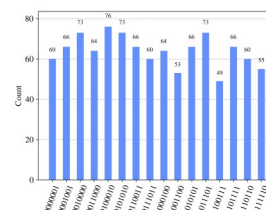


(b) (a) 的仿真结果

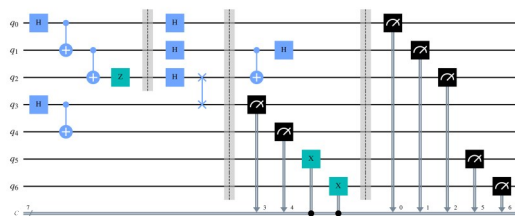
图 3 Alice 和 Bob 都选择 MEASURE 模式的相应量子线路及仿真结果



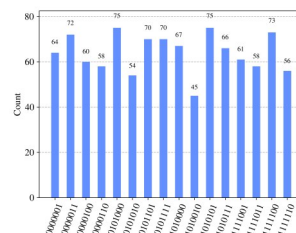
(a) Alice 选择 MEASURE 模式且 Bob 选择 REFLECT 模式的量子线路



(b) (a) 的仿真结果



(c) Alice 选择 REFLECT 模式且 Bob 选择 MEASURE 模式的量子线路



(d) (c) 的仿真结果

图4 Alice或Bob其中一方选择 MEASURE 模式的相应量子线路及仿真结果

根据图2(e), TP使用类GHZ基测量 $P_1^i P_2^i P_3^i$ 且使用Bell基测量 $P_4^i P_5^i$. 从图2(f)中不难看出, 00000对应TP的测量结果 $|\varrho_1\rangle|\phi^+\rangle$, 从而满足式(13).

因此, 这种情况下的仿真结果与本文协议的理论结果一致.

(2) Alice和Bob都选择MEASURE模式. 这种情况相应的量子线路及仿真结果如图3所示. 这里, q_5 和 q_6 表示Alice根据自己对 q_1 和 q_3 的测量结果重新制备的量子比特, q_7 和 q_8 表示Bob根据自己对 q_2 和 q_4 的测量结果重新制备的量子比特, X门表示根据测量结果重新制备一个量子态. 从图3(b)中可以看出, TP的测量结果对应于00000001、000100010、010001000、010101011、101010101、101110110、111011100和111111111. 这意味着TP的测量结果与Alice、Bob的测量-重发态相同, 且满足式(14). 因此, 这种情况下的仿真结果与本文协议的理论结果一致.

(3) Alice或Bob其中一方选择MEASURE模式. 这种情况相应的量子线路和仿真结果如图4所示. 在图4(a)中, q_5 和 q_6 表示Alice根据自己对 q_1 和 q_3 的测量结果重新制备的量子比特; 由图4(b)可知, TP的测量结果有16种, 这意味着TP的测量结果与Alice的测量-重发态相同, 且满足式(15). 在图4(c)中, q_5 和 q_6 表示Bob根据自己对 q_2 和 q_4 的测量结果重新制备的量子比特; 由图4(d)可知, TP的测量结果有16种, 这意味着TP的测量结果与Bob的测量-重发态相同, 且满足式(16). 因此, 这种情况下的仿真结果与本文协议的理论结果一致.

7 讨论与结论

文献[31]定义量子通信协议的量子比特效率为

$$\eta = \frac{c}{q+b} \quad (51)$$

其中, c 、 q 和 b 分别表示隐秘信息的长度、所消耗的量子比特的数量和经典通信消耗的经典比特的数量. 这里忽略窃听检测消耗的经典资源.

在本文协议中, 为了比较长度为 L 的隐秘信息, TP需制备 $8L$ 个类GHZ态和 $8L$ 个Bell态, 并分别将 S_A 和 S_B 发送给Alice和Bob; 接着, Alice和Bob分别从 S_A 和 S_B 中选择一半的粒子进入MEASURE模式; 然后, Alice和Bob通过认证经典信道分别向TP发送 R_A 和 R_B ; 此外, Alice和Bob利用文献[27]的SQKD协议预先共享 K_{AB} 需消耗 $24L$ 个量子比特. 因此, 有 $c=L$, $q=(3+2) \times 8L+2 \times 2 \times 4L+24L=80L$, $b=2 \times L=2L$, 从而得到 $\eta = \frac{L}{80L+2L} = \frac{1}{82}$.

接下来将所提出的SQPC协议与目前现有的基于量子纠缠交换的SQPC协议进行比较, 并将比较结果总结在表1中. 根据表1, 在量子资源方面, 由于类GHZ态比四粒子团簇态更容易被制备, 所提出的SQPC协议超过了文献[19]的协议; 在粒子传输模式方面, 所提出的SQPC协议采用树型传输模式, 相比于文献[21]协议采用的环形传输模式, 更能保证半量子方的独立性; 在量子比特效率方面, 所提出的SQPC协议高于文献[19]的协议; 在量子仿真方面, 文献[5]和文献[19]的协议并未对协议流程和输出正确性进行量子仿真, 而所提出的SQPC协议对协议流程和输出正确性进行了量子仿真.

综上所述, 本文提出一种基于类GHZ态与Bell态纠缠交换的SQPC协议, 在不泄露两个半量子通信者隐秘信息的前提下借助半忠诚TP正确地比较出隐秘信息的相等性. 本文详细证明了该协议针对外部窃听者的

表 1 所提出的 SQPC 协议与目前现有的基于量子纠缠交换的 SQPC 协议的对比

协议	文献[5]	文献[19]	文献[21]	本文协议
特征	测量-重发	测量-重发	测量-重发	测量-重发
量子资源	Bell 态	四粒子团簇态和 Bell 态	Bell 态	类 GHZ 态和 Bell 态
半量子用户的数量	2	2	2	2
粒子传输模式	树型传输	树型传输	环形传输	树型传输
TP 的类型	半忠诚	半忠诚	半忠诚	半忠诚
TP 的量子测量	Bell 基测量和 Z 基测量	Bell 基测量和 Z 基测量	Bell 基测量和 Z 基测量	类 GHZ 基测量、Bell 基测量和 Z 基测量
半量子通信者的量子测量	Z 基测量	Z 基测量	Z 基测量	Z 基测量
纠缠交换的使用	是	是	是	是
酉操作的使用	否	否	否	否
半量子方延迟线的使用	否	否	否	否
预共享密钥的使用	否	是	否	是
TP 是否知道比较结果	是	是	是	是
量子比特效率	$\frac{1}{82}$	$\frac{1}{98}$	$\frac{1}{18}$	$\frac{1}{82}$
量子仿真的使用	否	否	是	是

攻击具备完全鲁棒性,并且分析了该协议针对内部参与者的攻击具备安全性. 本文除了从理论上分析该协议的输出是正确的之外,还通过 IBM 的 Qiskit 进行实验仿真验证了其输出正确性.

本文只研究在系统不存在噪声且器件完美的情况下利用类 GHZ 态与 Bell 态纠缠交换来进行 SQPC 协议的理论上的设计. 由于在系统存在噪声或器件并非完美情况下,设计安全的半量子隐私比较设计会比较复杂,我们将其留待将来进一步研究.

参考文献

- [1] YAO A C. Protocols for secure computations[C]//23rd Annual IEEE Symposium on Foundations of Computer Science. Piscataway: IEEE, 1982: 160-164.
- [2] YANG Y G, WEN Q Y. An efficient two-party quantum private comparison protocol with decoy photons and two-photon entanglement[J]. Journal of Physics A Mathematical General, 2009, 42(5): 055305.
- [3] BOYER M, KENIGSBERG D, MOR T. Quantum key distribution with classical bob[J]. Physical Review Letters, 2007, 99(14): 140501.
- [4] BOYER M, GELLES R, KENIGSBERG D, et al. Semi-quantum key distribution[J]. Physical Review A, 2009, 79(3): 032341.
- [5] CHOU W H, HWANG T, GU J. Semi-quantum private comparison protocol under an almost-dishonest third party[EB/OL]. (2016-08-23)[2024-02-27]. <https://arxiv.org/abs/1607.07961v2>.
- [6] YE T Y, YE C Q. Measure-resend semi-quantum private

comparison without entanglement[J]. International Journal of Theoretical Physics, 2018, 57(12): 3819-3834.

- [7] LIN P H, HWANG T, TSAI C W. Efficient semi-quantum private comparison using single photons[J]. Quantum Information Processing, 2019, 18(7): 207.
- [8] YE C Q, LI J, CHEN X B, et al. Efficient semi-quantum private comparison without using entanglement resource and pre-shared key[J]. Quantum Information Processing, 2021, 20(8): 262.
- [9] GENG M J, XU T J, CHEN Y, et al. Semiquantum private comparison of size relationship based on d-level single-particle states[J]. Scientia Sinica Physica, Mechanica & Astronomica, 2022, 52(9): 290311.
- [10] YE T Y, LIAN J Y. A novel multi-party semiquantum private comparison protocol of size relationship with d-dimensional single-particle states[J]. Physica A: Statistical Mechanics and its Applications, 2023, 611: 128424.
- [11] THAPLIYAL K, SHARMA R D, PATHAK A. Orthogonal-state-based and semi-quantum protocols for quantum private comparison in noisy environment[J]. International Journal of Quantum Information, 2018, 16(5): 1850047.
- [12] YAN L L, ZHANG S B, CHANG Y, et al. Semi-quantum key agreement and private comparison protocols using Bell states[J]. International Journal of Theoretical Physics, 2019, 58(11): 3852-3862.
- [13] JIANG L Z. Semi-quantum private comparison based on Bell states[J]. Quantum Information Processing, 2020, 19: 180.
- [14] TSAI C W, LIN J, YANG C W. Cryptanalysis and im-

- provement in semi-quantum private comparison based on Bell states[J]. Quantum Information Processing, 2021, 20: 120.
- [15] XIE L, LI Q, YU F, et al. Cryptanalysis and improvement of a semi-quantum private comparison protocol based on Bell states[J]. Quantum Information Processing, 2021, 20: 244.
- [16] SUN Y H, YAN L L, SUN Z B, et al. A novel semi-quantum private comparison scheme using bell entangle states[J]. Computers, Materials & Continua, 2021, 66(3): 2385-2395.
- [17] GENG M J, CHEN Y, XU T J, et al. Single-state semi-quantum private comparison based on Bell states[J]. EPJ Quantum Technology, 2022, 9(1): 36.
- [18] LI Z X, LIU T H, ZHU H F. Private comparison protocol for multiple semi-quantum users based on Bell states[J]. International Journal of Theoretical Physics, 2022, 61(6): 177.
- [19] TIAN Y, LI J, LI C Y, et al. An efficient semi-quantum private comparison protocol based on entanglement swapping of four-particle cluster state and Bell state[J]. International Journal of Theoretical Physics, 2022, 61(3): 67.
- [20] LIAN J Y, LI X, YE T Y. Multi-party semiquantum private comparison of size relationship with d-dimensional Bell states[J]. EPJ Quantum Technology, 2023, 10(1): 10.
- [21] YE C Q, LI J, CHEN X B, et al. A feasible semi-quantum private comparison based on entanglement swapping of Bell states[J]. Physica A: Statistical Mechanics and Its Applications, 2023, 625: 129023.
- [22] TIAN Y, LI J, YE C Q, et al. W-state-based semi-quantum private comparison[J]. International Journal of Theoretical Physics, 2022, 61(2): 18.
- [23] YAN L L, CHANG Y, ZHANG S B, et al. Measure-resend semi-quantum private comparison scheme using GHZ class states[J]. Computers, Materials & Continua, 2019, 61(2): 877-887.
- [24] YAN L L, ZHANG S B, CHANG Y, et al. Semi-quantum private comparison protocol with three-particle G-like states[J]. Quantum Information Processing, 2021, 20(1): 17.
- [25] DÜR W, VIDAL G, CIRAC J I. Three qubits can be entangled in two inequivalent ways[J]. Physical Review A, 2000, 62(6): 062314.
- [26] YANG Y G, XIA J, JIA X, et al. Comment on quantum private comparison protocols with a semi-honest third party[J]. Quantum Information Processing, 2013, 12(2): 877-885.
- [27] KRAWEC W O. Mediated semiquantum key distribution[J]. Physical Review A, 2015, 91(3): 032323.
- [28] DENG F G, ZHOU P, LI X H, et al. Robustness of two-way quantum communication protocols against Trojan horse attack[EB/OL].(2005-08-23)[2024-02-27].<https://arxiv.org/abs/quant-ph/0508168>.
- [29] LI X H, DENG F G, ZHOU H Y. Improving the security of secure direct communication based on the secret transmitting order of particles[J]. Physical Review A, 2006, 74(5): 054302.
- [30] GAO F, QIN S J, WEN Q Y, et al. A simple participant attack on the Brédler-Dušek protocol[J]. Quantum Information & Computation, 2007, 7(4): 329-334.
- [31] CABELLO A. Quantum key distribution in the Holevo limit[J]. Physical Review Letters, 2000, 85(26): 5635-5638.

作者简介



徐欣女, 1999年3月出生于浙江省丽水市。分别于2021年和2024年在浙江工商大学获得工学学士和工学硕士学位。主要研究方向为量子与半量子密码。



甘志刚 男, 1979年1月出生于江西省抚州市。现为浙江工商大学讲师。主要研究方向为量子信息、量子计算、量子人工智能。
E-mail: ganzhigang@mail.zjgsu.edu.cn



叶天语 男, 1982年8月出生于浙江省温州市。现为浙江工商大学教授、硕士生导师。主要研究方向为量子信息、量子计算、量子与半量子密码。中国电子学会会员编号: E190010253M。
E-mail: yetianyu@zjgsu.edu.cn